

堆積層の特性について

北海道大学工学部 正員 吉田 静男

二成層から鉛直方向に離れた位置に取水口が存在する場合、二層界面から取水口近くにかけ二層の中間的密度が発達する場合がある。これをこの層をメカニズム上「堆積層」と名づけ、その特性について論述してみる。

①はじめに

筆者はこれまで成層流中からの取水には堆積層（これまで混合層と名づけていた）が発生、成長し流れ場を著しく変えてしまう可能性のあることを強調して来た。^{1,2)}この堆積層下限から鉛直方向に連続密度分布が存在する場合でも dividing line から取水口にかけて発生するものと思われる。この堆積層に関してこれまで正面から取り組んできた例はまだ知らないが、あくまでも問題にならなかった理由は、これまでの研究がほとんど室内実験によるものであって、しかも取水時間が非常に短かく堆積層の成長が無視し得たからであろうと推測している。しかし本研究の応用面である「カーテンウォールを設置しての取水」「ダムからの取水」「沈没槽からの循水取水」等においては数時間から数日というオーターの取水時間が普通で、長時間取水の結果として発生・成長する堆積層を無視することはできない。それだけではなく、時間は要するものの、堆積層の驚くほどの成長を知れば、堆積層を除外して取水の問題を処理することは不可能であることが知れよう。先にも述べた理由からこれまでの取水に関する研究は、そのすべてが、拡散、混合、さらには界面抵抗を無視した理想流体の取扱いであったから dividing line の形状を決定する上に界面抵抗に入る余地は無く、表面降下量又は鉛直方向の密度分布の存在のみが必要となっていた。たとえば二の方向の研究で光瓶的手段をもつた C.S.Yih³⁾の理論によれば、一端幅の水槽の一端底部に設けられた line sink における流れ場は Longuet-Higgins⁴⁾式 $\psi = \int_0^y P^{1/2} dy$ という新しい流れ関数を導入して直ちに無次元化された次式により記述される。

$$(1) \quad \psi_{yy} + \psi_{yy} + F^{-2}\psi = -F^{-2}\eta$$

$$\text{ただし } F = U/d\sqrt{g\rho}, \quad U = \sqrt{\rho/\rho_0} U', \quad \eta = y/d, \quad \psi = \psi'/U'd, \quad U' = \sqrt{\rho/\rho_0} u \\ u' = \sqrt{\rho/\rho_0} u, \quad u' = -\partial\psi/\partial y, \quad v' = -\partial\psi/\partial x$$

这里に ψ' は取水口から遠方での流速、 u', v' は流速の x, y の成分、 $\rho = \rho_0(1-\beta\eta)$ は密度で ρ_0 は水路底部の密度、 β は 4 方向密度勾配を示す。

(1) 式は下かきわめて大なる場合 F=1 と同一の流れになることを意味し、下かき小さくなるにつれて鉛直方向密度効果が現われはじめ、 $F=0.318$ (=F より実数解が求まらなくなり、堆積層の発生を示すようになる)。これが界面抵抗を考慮しないで dividing line 形状が維持される原因と F=1 である。(この理論に対し Dehler の実験はより堆積層発生条件が F=0.28 と Yih より小さい結果を得ていることは注目しておく必要がある)。しかし F=0.318 < 1 という条件では F より界面抵抗が本当に無視できるのであろうか? という疑問が生ずるが、F より界面抵抗の見積りがなされていること、実際のダムにはこの理論があまりあてはまらないという松村の指摘⁵⁾も参考合わせると Yih の理論を完全なものとして受け入れるわけにはいかない。

一方筆者もいう堆積層は上述の dividing line と取水口近傍の間に模様に成長する中間密度層であって、その成長は堆積層のない時点での dividing line を著しく変えてしまうことになり、さらにこの堆積層の形状が界面抵抗を考慮することによって示さうることも分かっている。こうした実情をつかみ、これまでの理論では見られなかつた dividing line における界面抵抗の評価を行なうさらに堆積層の効果を取り入れ、より正確な取水理論を完成させよと堆積層の特性を充分知り、おく必要があろう。

② 堆積層の観測結果

堆積層の観測をはじめて4年になるが、これまでに得た数多くの観測事実をもとにメカニズムの全貌が把握できようかに言ふ正してみる。

実験は前回論文集¹⁾に記述されているように幅8cm深さ15cm長さ7m、幅8cm深さ45cm長さ6mの水槽中の明瞭な二層を有する流体場上層表面から取水して行われた。取水開始以前には層を作り際相当の混合を中止して、それが取水が開始されたときにほとんど水取水されてしまう。しかし濃い混合液は中間密度層としてしばらく残留することになる。この間五時間以内の密度分布の一例を図で示すとFig.1 のごくなり最初定常な密度構造を維持することなく変遷を続ける。この場合定常化のために塩水を補給することは非常に問題がある。たゞ云々は取水中に取りこまれた塩分だけ補給したりとすれば堆積層から淡水への拡散は非常にわずかであるために数時間経ても十分にわずか補給すればよいことになる。しかしながら間に下層から堆積層への塩水混入があるため、堆積層及び下層の密度構造は大きく変貌してしまって單に塩水を補給するだけでは初期状態を維持することはできない。従ってこの種の問題は非定常的な実験する以外にないが密度構造が非常にゆっくりと変化するため、運動学的には各時刻ごとに定常化しているものと考えてよい。

堆積層内の密度が時間とともに高くなつてゆき次第に下層の高密度に近づいてゆくメカニズムは色素トレーサーの移動を追跡することによって推定することができる。調査の結果、意外に思ひる上流側での堆積層の高密度化にはFig.2 のごとき堆積層内の上流側への逆流か下層からの塩分拡散とも全く関係ない原因のあることが分かっている。堆積層密度構造は取水流量によつても変わつくるが一般的に大流量取水の場合ほど堆積層強度は小さくしかも短時間で高密度化する。

③ K-H波と内部波

大流量取水の場合にだけ見られる特徴は堆積層と淡水の境界に発生する波動である。この波動はこれまで単に内部波としてらえられ、その伝播速度はいかゆる内部波の伝播速度で示されるものであるとしてきたが、この伝播式ではなくよく説明できない内部波も存在することが分かった。この二種類の波動は従来理に実験によつてケーリー数がおよそ200程度で別々に見ることが出来る。観察によると通常内部波は内波はkelvin-Helmholz不安定によるかくもりであろうと推測できる。このK-H波は界面抵抗係数を算定する上に非常に重要な意味を持つといふと思われる。こうした事情もあるのでK-H波についてもう少し詳しく述べておくことにする。

Fig.3に堆積層界面の流跡線図である。観測によればK-H波は堆積層界面に沿うのではなく少し内部にしか無流面たりは上の領域に沿うように見える。従つて界面の波はK-H波の影響による変形であつて、自ら伝播する能力はない。一方K-H波自身も伝播能力はなく近傍の平均流に乗つて移動するだけでありK-H波にともなく界面波も、それと併せて行動するのである。さらにこのK-H波は下流ほど波長は長く振幅は大きくなつて、取水口ではこのcrestがせきを越すほどになる。このK-H波の成長は集中端の成長とまったく同じものであると思われる。又取水流量が次第に増して淡水流れが乱れてくると通常内部波がK-H波に重畠するためにはK-H波が破壊されたり寿命は長くない。しかし一度消滅しても、再びK-H波が生まれるという、くりかえしが見られる。

K-H波の破壊は單に消滅するのではなく、異流面を形成する、て堆積層内部に分散するという非常に興味あ

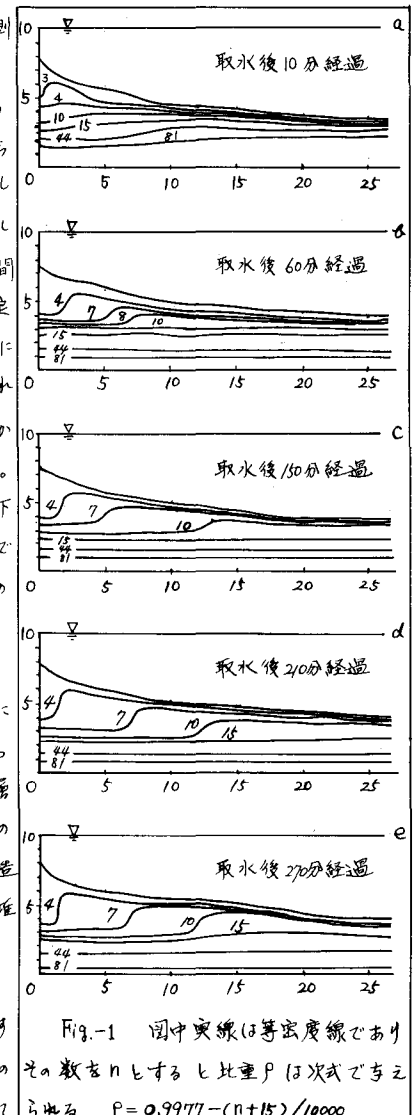


Fig.1 図中実線は等密度線であり
その数を付すと比重 ρ は次式で与えられる
 $\rho = 0.9977 - (n+15)/10000$

方形をとる。こうして K-H 波のふるまいは塩水楔に見出されるが、上述した水塊の崩壊の構造は、これまでよく分からなかった塩水楔崩壊の一原因となり得るであろう。

さてこれを堆積層の特徴をもとにしたが、これらの特徴から堆積層が塩水楔に非常に似ていることが分かる。この類似性を決定づけるもう一つの特性がある。それは取水口近傍で堆積層密度を使用した内部フルード数がほぼ 1 になるという事実である。厳密に取水口で 1 にならない理由は Fig.4 に示すごとく表面形状がせきの少し上流側で急変を開始し、それに伴って界面を急上昇するため内部フルード数が 1 を越えてしまうところである。しかし $F > 1$ の領域は非常にせまいので堆積層を塩水楔と同じ取扱をしてよいであろう。次に堆積層を塩水楔とは同じ特性を有するものと考えて理論考察を行ってみよう。

④ 堆積層形状を支配する運動方程式

二成層からの取水の様子は Fig.5 に示すような二次元モデルで表現することができます。図中 h_1, h_2, h_3 はそれぞれ淡水層、堆積層、塩水層である。密度 ρ については一般性をとるために鉛直方向に直線的に変化する次式で示さるものとしよう。

$$(2) \quad P_1 = \bar{P}_1 \left\{ 1 + \frac{\alpha}{h_1} (h_2 + h_3 + \frac{h_1}{2} - y) \right\}$$

$$(3) \quad P_2 = \bar{P}_2 \left\{ 1 + \frac{\alpha}{h_2} (h_3 + \frac{h_1}{2} - y) \right\}$$

$$(4) \quad P_3 = \bar{P}_3 \left\{ 1 + C \left(\frac{1}{2} - \frac{1}{h_3} y \right) \right\}$$

$$\therefore \text{左} = \alpha = (P_{1a} - P_{1u}) / \bar{P}_1, \text{右} = (P_{2b} - P_{2u}) / \bar{P}_2, C = (P_{3b} - P_{3u}) / \bar{P}_3$$

Suffix b は底部、u は表面を意味する。

さて流れ方向 (X 軸) の速度に比して鉛直方向速度が無視できる程度であるとすれば各層につれて次の方程式が成立する。

$$(5) \quad u \frac{\partial u}{\partial x} = - \frac{1}{\rho} \frac{\partial P}{\partial x} + \frac{1}{\rho} \frac{\partial}{\partial y} (A_y \frac{\partial u}{\partial x}) \quad (\text{X 成分})$$

$$(6) \quad 0 = -g - \frac{\partial P}{\partial y} \quad (\text{Y 成分})$$

$\therefore \text{左} = A_y$ は渦動拡散係数の Y 成分である。(6)式を使用して各層の P を求めると次のようになる。

$$(7) \quad P_1 = P_0 + g \int_y^{h_1+h_2+h_3} P_1 dy = P_0 + g \bar{P}_1 \left\{ 1 + \frac{\alpha}{2h_1} (h_2 + h_3 - y) \right\} (h_1 + h_2 + h_3 - y)$$

$$(8) \quad P_2 = P_0 + \bar{P}_2 h_2 + g \int_y^{h_2+h_3} P_2 dy \\ = P_0 + \bar{P}_2 h_2 + g \bar{P}_2 \left\{ 1 + \frac{\alpha}{2h_2} (h_3 - y) \right\} (h_2 + h_3 - y)$$

$$(9) \quad P_3 = P_0 + \bar{P}_3 h_3 + \bar{P}_3 h_2 + g \int_y^{h_3} P_3 dy \\ = P_0 + \bar{P}_3 h_3 + \bar{P}_3 h_2 + g \bar{P}_3 \left(1 - \frac{C}{2h_3} y \right) (h_3 - y)$$

ここに P_0 は大気圧を示す。ここで (7), (8), (9) 式をそれぞれ (5) 式に代入すると (1) ～ (3) 三つの各層に関する運動方程式が得られるが、これは X 方向に一様と仮定し各層の厚さにわたって積分し各層自身の厚さで割り、平均の方程式を求めると次式を得る。

$$(10) \quad \frac{u_1}{g} \frac{\partial u_1}{\partial x} + (1 - \frac{\alpha}{6}) \frac{\partial h_1}{\partial x} + \frac{\partial h_2}{\partial x} + \frac{\partial h_3}{\partial x} = - \frac{T_{12}}{\bar{P}_1 g h_1} + \frac{h_1}{12} \frac{\partial \alpha}{\partial x} - \frac{h_1}{2 \bar{P}_1} (1 - \frac{\alpha}{6}) \frac{\partial \bar{P}_1}{\partial x}$$

$$(11) \quad \delta \frac{\partial h_1}{\partial x} + (1 - \frac{\alpha}{6}) \frac{\partial h_2}{\partial x} + \frac{\partial h_3}{\partial x} = \frac{T_{12}}{\bar{P}_2 g h_2} + \frac{h_2}{12} \frac{\partial \alpha}{\partial x} - \frac{h_2}{2 \bar{P}_2} (1 - \frac{\alpha}{6}) \frac{\partial \bar{P}_2}{\partial x} - \frac{h_1}{\bar{P}_1} \frac{\partial \bar{P}_1}{\partial x} - \frac{T_{23}}{g \bar{P}_2 h_2}$$

$$(12) \quad \delta \frac{\partial h_2}{\partial x} + \frac{\partial h_3}{\partial x} + \delta (1 - \frac{\alpha}{6}) \frac{\partial h_3}{\partial x} = \frac{\delta h_2 \partial C}{12 \bar{P}_3} - \frac{h_3}{\bar{P}_2} \frac{\partial \bar{P}_2}{\partial x} - \frac{h_2}{\bar{P}_2} \frac{\partial \bar{P}_2}{\partial x} - \frac{h_3}{2 \bar{P}_3} (1 - \frac{\alpha}{6}) \frac{\partial \bar{P}_3}{\partial x} + \frac{T_{23}}{g \bar{P}_3 h_3}$$

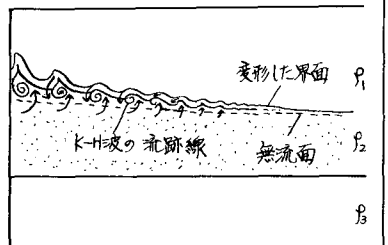
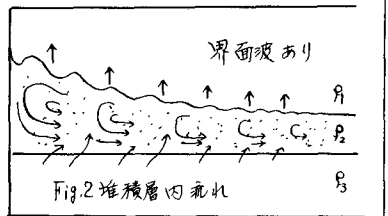
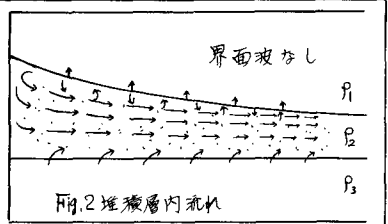


Fig.3 K-H 波流跡線図

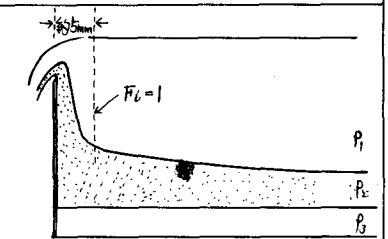
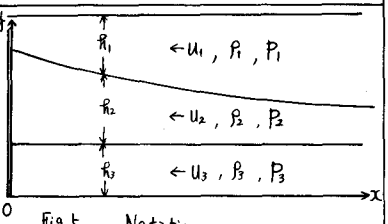


Fig.4 せき近傍の堆積層



ρ : 密度 u : 速度の X 成分 P : 圧力
 h : 各層の厚さ Suffix 1, 2, 3: 各層に関する物理量を示す

ここで T_{12} は i 層と層間に作用する剪断応力であり $\delta = \bar{P}_1 / P_2$, $\sigma = \bar{P}_2 / P_3$ である。一方(10)式第一項は $U_{11} = \text{const.}$ より $\frac{\partial U_1}{\partial X} = -\frac{U_1^2 h_1}{h_1^2 \partial X}$ を書きかえることがで、 $U_2 = U_3 = 0$ とおくことがで、 U_1 中で最終的に次式が得られる。

$$(13) \quad \begin{vmatrix} (1-\frac{\alpha}{2}-\frac{U_1^2}{g h_1}) & 1 & 1 \\ \gamma & (1-\frac{\alpha}{2}) & 1 \\ \gamma & 1 & 8(1-\frac{\alpha}{2}) \end{vmatrix} \begin{vmatrix} \frac{\partial h_1}{\partial X} \\ \frac{\partial h_2}{\partial X} \\ \frac{\partial h_3}{\partial X} \end{vmatrix} = \begin{vmatrix} -\frac{T_{12}}{P_1 g h_1} + \frac{h_1 \partial \alpha}{12 \partial X} - \frac{h_1}{2 \bar{P}_1} (1-\frac{\alpha}{2}) \frac{\partial \bar{P}_1}{\partial X} \\ \frac{T_{12}}{P_2 g h_2} + \frac{h_2 \partial \alpha}{12 \partial X} - \frac{h_2}{2 \bar{P}_2} (1-\frac{\alpha}{2}) \frac{\partial \bar{P}_2}{\partial X} - \frac{h_1}{P_2} \frac{\partial \bar{P}_1}{\partial X} \\ \frac{8 h_3 \partial \alpha}{12 \partial X} - \frac{h_3}{P_3} \frac{\partial \bar{P}_2}{\partial X} - \frac{h_2}{P_3} \frac{\partial \bar{P}_1}{\partial X} - \frac{h_3}{2 \bar{P}_3} (1-\frac{\alpha}{2}) \frac{\partial \bar{P}_3}{\partial X} \end{vmatrix}$$

この(13)式が Fig.5 の流れ構造を持つ場において成立する運動方程式である。この方程式は ψ というパラメータを含んでいて、 ψ に何らかの仮定して初期値が刻々変化する問題として数値計算する以外に解くことはできない。

$\psi = -(f_i \bar{P}_1 U_1 U_2) / 2$ であるが、これが抵抗係数であるが、この f_i がいかなる物理量の関数であるかという問題については、議論の多いところではまだ決定的な形がわかつてない。ただ數多くのデーターが整いつつあって、実験的にはクーリカン数の関数としておよそ示されたりとされていいる。ここではこの実験式を使って堆積層形状を予測せずに、堆積層形状をよく説明してくれる f_i を逆に求め、これで多くの研究者によつて観測された結果と比較してみる。なおこれは次式(14)によつて求められたがこの式を導くにあたって、各層鉛直方向密度勾配を zero として取扱つてある。この簡略化によつて充分な近似が得られるることは分かつてある。

$$(14) \quad f_i = -\frac{2g}{M U_1 U_2} \left(\frac{h_1 h_2}{h_1 + h_2} \right) \left\{ \frac{\partial h_1}{\partial X} \left(\varepsilon_{12} - \frac{U_1^2}{g h_1} \right) - \frac{h_2 \partial \bar{P}_2}{2 \bar{P}_2 \partial X} \right\} \quad \left(\text{ここに } \varepsilon_2 = \frac{\bar{P}_1 - P_2}{P_2} \text{ で今回の実験では } 0.00267 < \varepsilon_{12} < 0.0579, 0.000400 < \varepsilon_{12} < 0.000710 \text{ であった。} \right)$$

筆者の観測した f_i と他の研究者の観測した f_i が Fig.6 にプロットされてゐる。図中には堆積層上面に内波の発生しない場合の f_i , ▲は K-H 波及び通常内部波の生じている界面での f_i , 口は堆積層上面の一部に K-H 波が生じている場合の f_i , しかも K-H 波の存在しない界面での f_i を示す。ここで強調しておきたい点は、クーリカン数の小さなプロットほど上流側のデーターであつて、鉛直方向の速度の影響が小さいということである。この鉛直方向速度が完全無視できるものであれば、ニホンゲートが求められた f_i が筆者の f_i から

$$(15) \quad f_i = 0.25 \psi^{-0.5} \quad (\text{ここに } \psi = \bar{P}_1^2 R \text{ で } R \text{ はフルード数, } R \text{ はレイルズ数である。})$$

なる関係が得られ、これを(13)式に代入すれば実測に一致した堆積層の形状が計算できることになる。

さて界面抵抗係数の問題としてこの事実をすれば、これまでに考えられてきた壁に界面に内波がある場合と無い場合で $\psi = 200$ 近傍で $f_i = f(\psi)$ の勾配が急激するであろうといふ「固体壁上の境界にかけた f_i の特性」からの類推はできないといふことを意味することになる。しかしこの点についてこれまで以上の議論を進めるにはデーターが不足であり、別の機会にゆずらねばならない。ともかく(13)式には層水理理論と同様層の近似がほどこされていて多少厳密さに欠けるものの f_i 式の関係を使用すれば堆積層の形状を予測は可能であつて堆積層の形状維持に界面抵抗が重要な役割をはたしているといふ可能性は充分にある。今後は数分間の取水では成り立つといわれてゐる Yih の(1)式と(13)式の関連を調べる方向で研究が進められる必要がある。

終りにあたり、実験の補助をしていただいた北海道大学工学部 応用物理学科学生の相馬俊一君、福田以津子君、北越亮三君、吉田真一君に心から功を述べたい。

文 献

- 1) 吉田・福田：土木学会北海道支部論文報告集（昭和48年度）
- 2) 吉田洋介回土木学会年次学術講演会（昭和49年）
- 3) C.S.Yih: Dynamics of Nonhomogeneous Fluids, Macmillan Co., 1965
- 4) R.R.Long: Tellus, 5, 1953
- 5) 柏村：「石狩川の流速解析と流砂に関する研究」（昭和47年度）
- 6) 大西・日野：第14回、第15回海岸工学講演会講演集（1967, 1968.）

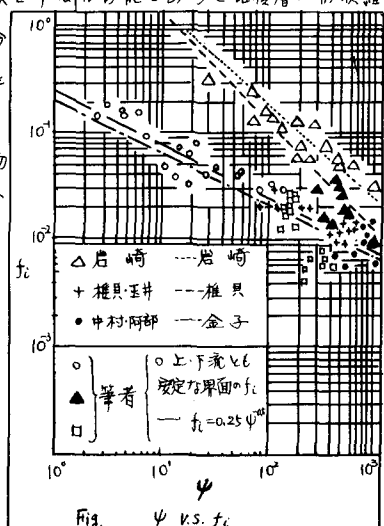


Fig. ψ v.s. f_i